

砂の粒度および量とモルタルの諸性質の関係について\*

THE EFFECT OF SAND GRADING AND ITS ABSOLUTE VOLUME  
UPON THE CHARACTERS OF MORTAR

徳光善治\*\*  
By Yoshiharu Tokumitsu

### 1. まえがき

コンクリートはセメント、水および骨材から構成され、骨材はさらに粗骨材、細骨材に分類されている。粗骨材の分類は粒径という便宜的な手段によっているが、セメントペーストと混合されたとき、だいたい示方書の分類点に近いところで性格を異にするようである。したがってコンクリートは大きく考えるとモルタルと粗骨材からなると考えてもよい。もちろん、粗骨材周囲には余分なペーストを必要とするかもしれないが、これはコンクリートの場合に考慮することにする。すなわち、モルタルと粗骨材の性質がコンクリートの品質に影響をもつと考えたのである。特に強度の面からは強いモルタルで包まれたコンクリートが強いであろうことは容易に推定される。本文は粗骨材を考えぬモルタルの性質について考察したものである。

モルタルはセメント、水および砂から構成されている。すなわち、単位容積のモルタル中で占めるペーストおよび砂の容積をそれぞれ  $P$ 、 $S$  として示すと、

$$P+S=1 \quad \dots \dots \dots (1)$$

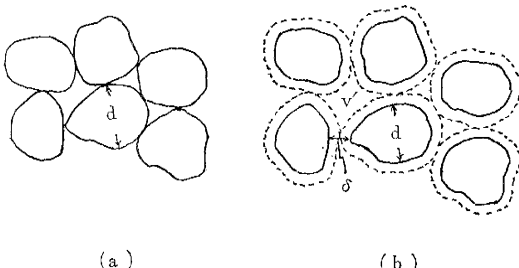
とならねばならない。しかし  $S$  はその砂単独でつめこまれたときの実積率（これを固有実積率と呼ぶ） $G_i$  よりは大になり得ないので

$$G_i > S = G_c \quad \dots \dots \dots (2)$$

がモルタルとしての必要条件となる。ここで配合設計上得られる  $S$  を配合実積率  $G_c$  と呼ぶことにする。

モルタル中の砂は周囲にペースト被膜を作り、この被膜によって相互に緊結されている。したがって  $G_i$  なる

図-1 骨材単独のつめこみとモルタルのつめこみ模型



\* 昭和34年、土木学会 第14回年次学術講演会に一部発表  
\*\* 正員 工博 九州大学講師 工学部土木工学科

状態では 図-1 (a) のようになっているものが  $G_c$  では 図-1 (b) のように被膜厚  $\delta$  だけ余分なすき間をもつことになる。このとき  $G_c$  と  $G_i$  の間にはつぎの関係が成立つ。

$$\frac{G_i}{G_c} = \left(1 + \frac{\delta}{d}\right)^3 \quad \dots \dots \dots (3)$$

ここで、 $d$  は砂粒子の平均粒径を表わす。この  $d$  については後述するとして、 $\delta$  がモルタルの重要な性質を表わす要素であると考えられる。一般に、砂量を増すということは  $\delta$  を小にすることであり、 $d$  が大であることは粗い砂を意味する。それゆえ、 $\delta$  が砂の表面に均等厚に作られるとするなら、粗砂のほうがセメントは少なくとも同じ  $\delta$  をもちうことになる。一方  $G_i$  が大なる砂は同様に有利と考えられる。これらのことに関し実験および考察を試みたのが本論文である。

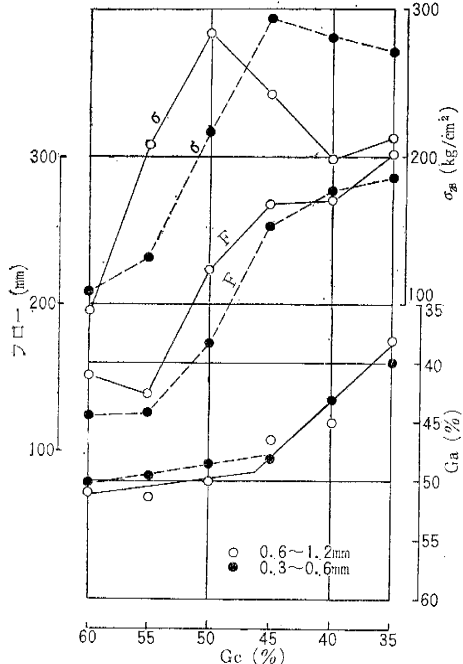
### 2. 1種骨材の配合実積率とモルタルの諸性質

ペーストの品質 ( $w/c$ ) を一定にして、一定粒径の骨材を使用し、配合実積率  $G_c$  を変化させた場合について述べる。室見川砂をふるい分け、 $0.3 \sim 0.6 \text{ mm}$  および  $0.6 \sim 1.2 \text{ mm}$  の粒径をえらび、それぞれに対し  $w/c = 65\%$  のペーストを混合、各種の  $G_c$  でモルタルを練った。その結果を 図-2 にまとめている。

図中の  $G_a$  は、でき上りのモルタル中で、実際に骨材が占めていると推定される実積率で、つぎのような仮定にもとづいて計算したものである。いま配合設計どおりのモルタルができ上り、空げきがないとしたときの単位重量  $r_c$ 、でき上りのモルタルの実際の単位重量  $r_a$  とすると、実際には若干の空気泡をふくむために  $r_c > r_a$  となるのが当然である。 $r_a$  は練り上り直後のモルタルで測定すべきであるが、後述の傾向が後に判明したので、養生室で硬化したモルタルの重量から求めた。そのためキャッピング、養生中の収縮などの影響があつて逆の結果も生じている。特にただ1種の骨材を用いた場合、ともすれば分離の傾向を生じ、ペースト部分があふれ、骨材が余分に入る傾向があった。また、逆に  $r_c \gg r_a$  と極端に差のある場合もあった。これら2つの場合についてつぎのように考えた。

#### $r_c > r_a$ の場合

これは  $G_a < G_c$  なる場合で、 $G_c > G_i$  であればもちろ

図-2  $w/c=65\%$  のモルタルの骨材量 ( $G_c$ ) と諸性質

ん  $G_c < G_a$  の場合にもおこり得るものであり、ペーストと骨材の配合割合は変わらないが、ペーストが骨材表面を被覆し、さらにペースト被膜間の空げきを満たすに足らない場合に生ずる。すなわち単位容積中で占めるべき  $r_c$  が空げき  $v$  をふくむため、見かけ上  $r_a$  となっているのであるから、

$$r_a = \frac{r_c}{1+v}$$

となる。また、配合設計上の  $G_c$  が  $G_a$  となっているのであるから、

$$G_a = \frac{G_c}{1+v} = G_c \frac{r_a}{r_c}$$

で  $G_a$  を与えることができる。

#### $r_c < r_a$ の場合

キャッピング、養生初期の収縮などの影響は将えず、打ち込み時に骨材とペーストが若干分離し、ペーストが追い出され、骨材が余分につまつたとする。すなわち、骨材がペーストの一部とおきかえられたと将える。いま、骨材の比重  $\rho_a$ 、ペーストの比重  $\rho_p$  とすると、

$$r_a - r_c = (G_a - G_c)(\rho_a - \rho_p)$$

となるから、 $G_a$  は次式となる。

$$G_a = \frac{r_a - r_c}{\rho_a - \rho_p} + G_c$$

ここで  $\rho_p$  は、水セメント重量比を  $w/c$  とすれば次式で示される

$$\rho_p = \frac{1+w/c}{1/\rho_c + w/c}$$

ただし  $\rho_c$ :セメントの比重

a)  $G_c$  と  $G_a$  の関係 ここで使用した砂の固有実積率はいずれも  $G_i=52\%$  であるが、図-2 のように  $G_a$  と  $G_c$  の関係は折れ線で示される。 $G_a$  は前述の収縮、キャッピングなどの影響で3%ほど計算では大いに偏していると考えると、 $G_c \leq 45\%$  では  $G_c = G_a$  となるが  $G_c > 45\%$  では骨材が思うようにつまらない。すなわち、 $G_i=52\%$  ではあるが、被膜の存在によって7%ほどペースト消費量を増加させねば完全なモルタルになり得ない。この増加量が被膜となるのであるが、屈折点より大なる  $G_c$  部分では  $G_a$  の値は大した変化をしない。換言すると、ペースト量が変わっているにかかわらず、骨材相互の関係はそれほど変わらず、被膜部分に費されるペースト量はほとんど変化しないと考えられる。これを図-1(b)で説明すると、 $\delta$  なる被膜が破線のように作られる。 $G_c$  が大なる場合、この被膜部分にまずペーストが消費され、内部空げき  $v'$  を満たすことはできない。しかし、 $G_c$  が小になるにしたがい、内部空げきを漸次満たしてゆき、最後にこれを満たし終えたときから始めて  $G_c$  どおりのモルタルとなることができる。そして  $G_c$  がさらに小となると、ペーストは被膜厚さの増加のために費されるようになると考へることができる。

b)  $G_c$  とフローの関係 図-2 のように、フローは  $G_c$  が屈折点より大なる部分では、ペーストの増加とともに急激に増大するが、屈折点より小なる部分では、フローはペーストの増加によりいくぶんは増大するが、その増し方は少ない。

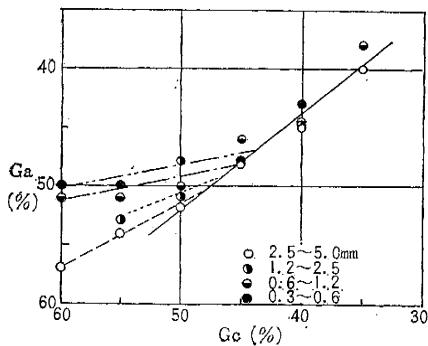
c)  $G_c$  と圧縮強度 各配合のモルタルで、径 5 cm、高さ 10 cm の供試体を作り 28 日の圧縮強度を求めた結果 図-2 に示している。ここで気づくのは、一定の  $G_c$  で最高強度を示し、 $G_c > G_a$  部分では空げきのために強度が減ると考えられるが、 $G_c = G_a$  部ではペースト膜厚の増加により強度が減ると考えられることである。もちろんペーストの品質によっても異なるであろうが、後述の実験にも見られるように、一般に使用される  $w/c$  の範囲では以上と同じような傾向が見られる。このことは標準供試体 ( $4 \times 4 \times 16$  cm) の場合も同様である。

### 3. 1種骨材の粒径およびペーストの品質がモルタルの性質に与える影響

2. と同様に  $w/c=65\%$  で、粒径 2.5~5 mm, 1.2~2.5 mm の骨材について  $G_c$  を変えて粒径の相違による影響を、1.2~2.5 mm と豊浦標準砂により  $w/c$  の影響を試験した。つぎにそれぞれの性質について述べてゆこう。

a)  $G_c$  と  $G_a$  の関係  $G_c$  と  $G_a$  の関係を  $w/c=65\%$  について描くと 図-3 のようになり、いずれも  $G_c=45\%$  付近で前記の屈折点に達する。これより小さな  $G_c$  の場合に始めて完全なモルタルとなり、大きな  $G_c$  では

図-3  $w/c=65\%$  のモルタルの骨材粒径の相違による配合実積率  $G_c$  と見かけ実積率  $G_a$  の関係



不完全なモルタルとなるので、この屈折点に相当する  $G_c$  を限界実積率と呼ぶことにする。限界実積率  $G_{cr}$  はわずかではあるが、細骨材ほど小さくなっている。しかし、この限界実積率とそれぞれの固有実積率  $G_i$  を比較してみると、大体  $G_{cr}=G_i-0.07$  となっており、必ずしも粒径によるちがいとはいがたい。

骨材表面にできるペースト膜厚について柳場、高桑両氏の興味ある実験<sup>1)</sup>がある。これによると、粒径 10 mm 以上ではペーストの  $w/c$  が等しければ膜厚  $\delta$  はほぼ等しい。粒径 10 mm 以下では  $\delta$  は減少する。また  $\delta/d$  は 5 mm 以上では粒径が小になるにしたがって増すが、5 mm 付近から減少し、3 mm 以下では  $w/c$  によりほとんど一定となる、というのである。この研究は、鋼球によったものであり、一般のコンクリート骨材にそのまま適用されるとはいがい得ないにしても、ある程度類似性はあるといってよからう。ここではモルタルで考えているので粒径は 5 mm 以下である。したがって安定な膜厚  $\delta$  は  $d$  に関係し、 $\delta/d$  が一定と考えてよい。いま両氏の実験結果より  $w/c=65\%$  に対し  $\delta/d=0.05$  と考え、式(3)より  $G_c$  を求めると、2.5~5 mm, 1.2~2.5 mm, 0.6~1.2 mm および 0.3~0.6 mm のおのおのに対し  $G_c$  はそれぞれ 0.50, 0.48, 0.46 および 0.45 となる。これは図-3 の  $G_{cr}$  にはほぼ等しく、細骨材では以上の考え方方が、数値的に若干の違いはあるが、適用できると考えられる。図-3において  $G_c > G_{cr}$  の範囲において、粒径が大になると  $G_a$  は  $G_c$  が大になるにしたがい大きくなっている。これは粒子間に生ずる単位空げきが大粒子ほど大で、被膜部分のペーストが締固めにより固有空げきに移行しやすいという理由からであろう。

つぎに図-4にはペーストの  $w/c=50\%$  および 40% に対し、 $G_c$  を変化させたときの  $G_a$  を与えている。1.2~2.5 mm と標準砂の固有実積率はほぼ等しく、この点の誤差は少ないものと考えられる。 $w/c=50\%$  では若干ずれているが、40% では  $G_c=35\%$  で両者は一致し、 $G_{cr}$  に達したものと見られる。前の  $w/c=65\%$  と考えあわせ  $G_{cr}$  は  $w/c$  の減少とともに減少し、前述の柳

図-4 骨材粒径および  $w/c$  の変化による配合実積率  $G_c$  と見かけ実積率  $G_a$  の関係

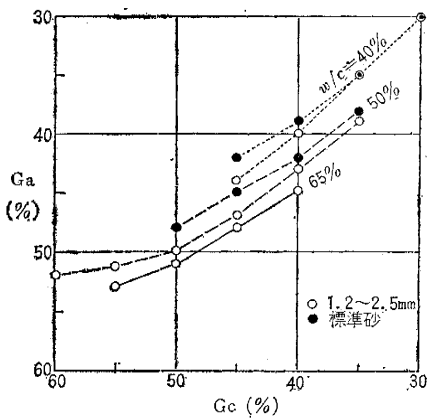


図-5  $w/c=65\%$  のモルタルの骨材粒径がフローにおよぼす影響

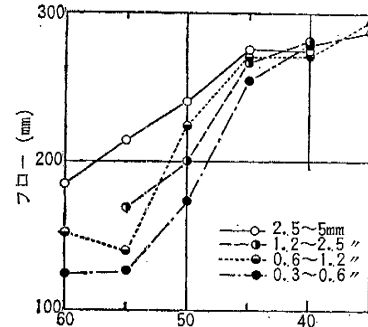
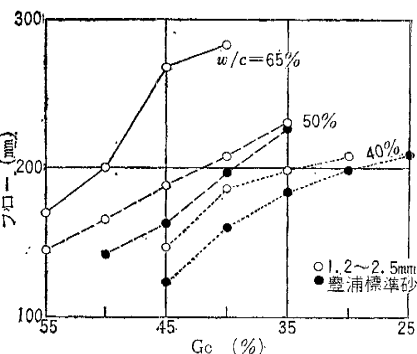


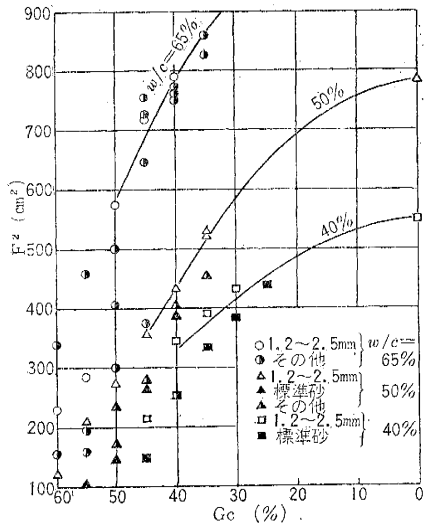
図-6  $w/c$  による  $G_c$  とフローの関係



場、高桑両氏の実験と同じような結果を得ている。

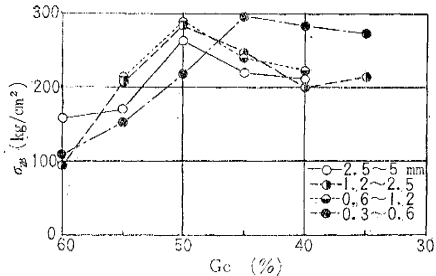
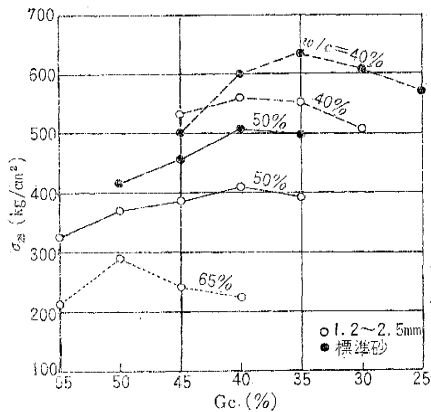
**b)  $G_c$  とフロー**  $G_c$  とフローの関係は図-5 および図-6 に示しているが、 $G_c$  と  $G_a$  の関係に似たものが見られる。すなわち、 $G_c > G_{cr}$  部分と  $G_c < G_{cr}$  部分とでは性質を異にし、前者では粒径によってフロー値はそうとうに違っているのに対し、後者では大差ない。モルタルとして取り扱うのは  $G_c < G_{cr}$  部分であるべきであるが、いずれにしても  $G_c$  が減少すればフローは大になる。これは単位水量が増しているのであり当然といえる。

式(3)において、 $d$ が一定であれば $G_c$ が減ずるほど、 $G_c$ が一定なら $d$ が大なるほど $\delta$ は大となる。 $G_c$ が減ずることはセメントおよび水量が増加することを、 $d$ が大なることは粒子が粗いことを意味する。一般に以上の事項は流動性を増す条件と考えられていることに共通し、 $w/c$ が一定ならウォーカーピリチーはペースト膜厚 $\delta$ が支配するという Kennedy 氏の説など<sup>2)</sup>も生まれたと考えられる。いわゆる比表面積説もこれと同様である。しかし、例えば $G_c=0.5$  の骨材表面に $\delta=0.5 \text{ mm}$  の被膜ができる場合を考えると、 $d=5 \text{ mm}$  に対し $G_c=0.376$ 、 $d=1 \text{ mm}$  に対し $G_c=0.148$ とならねばならず、粒径のわずかな違いが非常に大きな影響をもつことになる。筆者の実験では図に示したように、多少 $d$ の影響があるとは考えられても、このように $\delta$ が支配するのだと考えることは困難である。図-6においては $w/c=65\%$ の場合に比して粒径による差が大に表されているが、この例は砂としては最大および最小に類するものをとっており、フローを直径でなく拡がりの面積( $F^2$ )を基準として考えると、図-7 のようになり $G_c < G_{cr}$  では $G_c$ 、すなわち $\delta/d$ によって大きく支配されると考えてよい。

図-7  $w/c$  と  $F^2$  の関係

c) 強度に与える影響 一般に、骨材粒径はコンクリートあるいはモルタルの強度に直接影響を与えるものではないと考えられている。また、粒径が一定な場合、 $G_c > G_{cr}$  なる不完全なコンクリートは強度が劣ることは当然であるにしても、空けきのないコンクリート、すなわち $G_c < G_{cr}$  なるものでは $w/c$  が強度を支配すると考えられてきた。

1種骨材について実験した結果を 図-8 および 図-9 に示しているが、必ずしも上記の説は正しいとはいえないようである。 $G_c > G_{cr}$  部分では $G_c$  が大になるにしたがい、ペーストが空けきを満たさなくなる程度がいちじ

図-8  $w/c=65\%$  の骨材粒径と強度図-9  $w/c$  と粒径が強度に与える影響

るしく、強度は減少する。 $G_c < G_{cr}$  部分では逆に、 $G_c$  が減少するにしたがい、わずかではあるが強度も減少している。また同一 $G_c$  であれば粒径は小さいほうが強度は高い。これは骨材とペーストの弾性係数を考えると、ペーストのほうが小であるため、骨材と骨材との間の伝達応力が大きな骨材ほど大きく集約されるため、中間のペースト強度は一定であるから、全体的には早く破壊に達するものと考えられる。

d) 結論  $G_c > G_{cr}$  なる場合は別として、 $G_c$  が減少していくと、1種骨材のモルタルはフローを増大する。しかしフローの増加は $G_c > G_{cr}$  なる場合に比し、その伸びは少ないし、強度はむしろ減少する。粒径による影響は、フローに対し不完全モルタルでは大いに差があるが、完全モルタルでは多少はあるにしても、ペーストの $w/c$  に比して小さなものである。また、粒径は小さいほうが強度は大である。以上から考えて、モルタルにはその砂の粒径および固有実積率に対し、最適と考えられる砂量 $G_{cr}$  が存在する。

#### 4. 2 種骨材を用いたモルタル

粒径の異なる2要素を混合したとき、その配合率によって実積率が変化することは明らかである<sup>3)</sup>。このような配合率の違いがモルタルにいかなる影響を与えるかについて実験を試みた。

セメント ペーストの $w/c$  を等しく 50% とし、骨材

図-10 2種粒径の混合率を変えた骨材を用いたモルタルで、 $w/c=50\%$ 、セメント量および砂量を一定にした場合

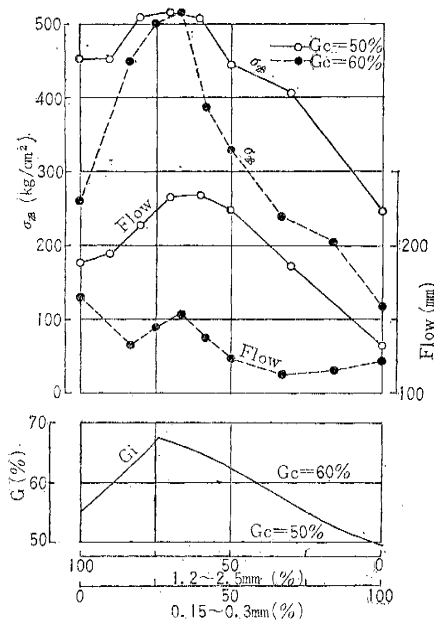
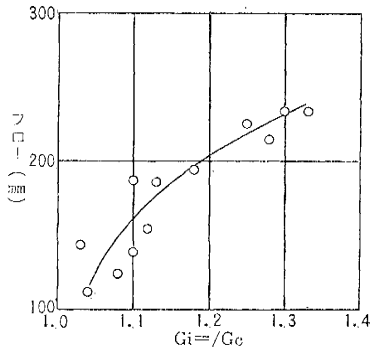


図-11  $w/c=50\%$  の  $G_i/G_c$  とフローの関係



配合実積率  $G_c=50\%$  および  $60\%$  の場合について、骨材2要素 ( $1.2\sim2.5\text{ mm}$  および  $0.15\sim0.3\text{ mm}$ ) の配合率変化にもとづくモルタルの性質の変化は図-10 のようである。完全モルタルでは式(2)の条件  $G_c < G_i$  を満たさねばならぬが、図に見るよう  $G_c=60\%$  では一部分しか条件を満たしていない。それに対し、 $G_c=50\%$  ではほとんど満足しており、ペースト不足による影響は  $0.15\sim0.3\text{ mm}$  単独の場合を除いてないものと考えてよい。先に式(3)において  $G_i/G_c$ 、すなわち  $\delta/d$  がモルタルのフローに關係することを述べた。つぎに  $G_i/G_c$  とフローの関係を図-11 に示すが、ある程度、關係あるものといってよいようである。式(3)における  $d$  は混合要素の場合、ある種の平均粒径で考えねばならない。しかし、 $\delta$  が  $d$  に対し一定のものであるならペースト混合により骨材粒子の相対的位置は変わらないから  $G_i/G_c$

図-12  $C=520\text{ g/l}$ 、フロー  $220\text{ mm}$  で2種混合骨材を用いたモルタル

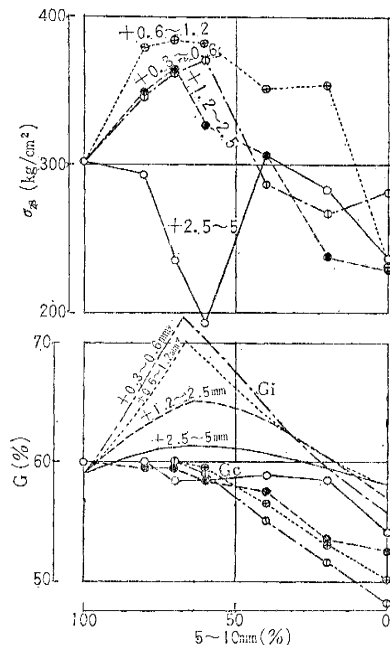
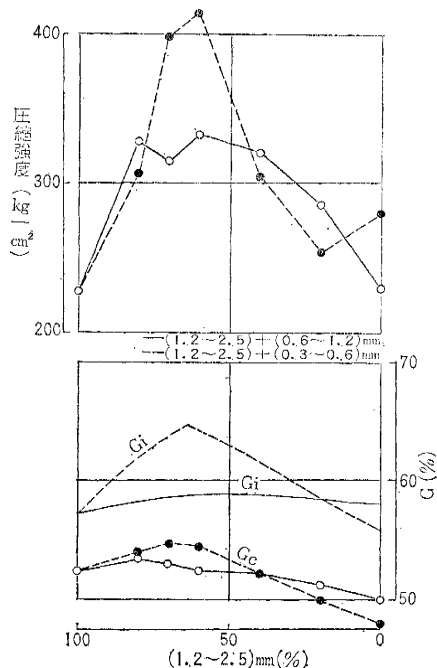


図-13  $C=520\text{ g/l}$ 、フロー  $220\text{ mm}$  で2種混合骨材を用いたモルタル



のみで考えてよいことになる。

強度について考えても、 $G_i/G_c$  あるいは  $G_i-G_c$  は大きな影響力のあることが図-10 よりいえる。この実験では  $w/c$  が一定であるから、あとは骨材の影響である。 $G_c=50\%$  と  $60\%$  では、最大強度およびそれを与える

配合率はほぼ等しいが、 $G_c=60\%$ では配合率のわずかな変動が強度に大きく影響している。すなわち、セメント量が少ないと、骨材の粒度のわずかな変化がモルタルの性質に大きく影響し、安定性に乏しくなるといえる。逆にいえば、骨材粒度の良好なものを選べば、同一強度を得るのにセメント量を減じ得るといえる。また、このような理想的粒度とは、最大実積率を示す粒度に近いところにある。

つぎに、セメント量 520 g/l で、フロー値  $F=220$  mm とし、第1要素に 5~10 mm、第2要素に 2.5~5 mm、1.2~2.5 mm、0.6~1.2 mm、および 0.3~0.6 mm の骨材を使用し、水量を加減してモルタルを作った。図-12 はその結果を示している。また、第1要素に 1.2~2.5 mm、第2要素に 0.6~1.2 mm、および 0.3~0.6 mm を使用し、上と同じ条件で配合したモルタルの試験結果を図-13 にあげている。第1要素で 5~10 mm が主体（主たる骨組を作っているのが第1要素の場合）のときには、分離性あるいは 3. で述べたペーストの  $\delta/d$  から  $\delta$  への移行段階にあるためか、 $G_i-G_c$  は第2要素の増加とともに増す。しかし、 $G_i$  の最大値をこえると、第2要素が主体となり  $G_i-G_c$  はほぼ一定となる。これら  $G_i-G_c$  の値は粒径によって若干の違いはあるが、ほとんど変わらず 6~10 % の範囲にある。このことは 図-13 の場合にもいえる。ここで  $G_i-G_c$  について述べたが、近似的には  $G_i/G_c$  に代用できるものである。

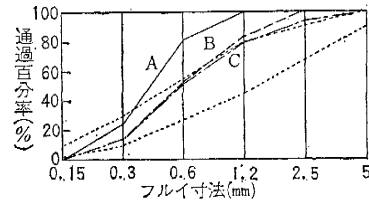
強度を比較すると、 $G_i$  の最大値付近で最大強度を示すのは例外ない。ただ 5~10 mm と 2.5~5 mm の混合では定性的なものが見られないが、これは粒径がともに大でペーストのなじみの少ないこと、 $G_i$  の変化がほとんどなく 1 種モルタルに近いことがあげられる。第1要素、第2要素の粒径  $d_1, d_2$  の比について考えると、 $d_2/d_1$  は 0.5 より 0.25、それより 0.125 のほうが強度は増加する。しかし、0.06 では若干減少し、0.125 が最良となる。また配合率  $K_1 : K_2 = 2 : 1$  がよいのは、つめこみの最大密度と同様である<sup>3)</sup>。

以上の実験に使用したセメントはアサノセメント（香春工場製、比重 3.16）、砂は室見川砂をふるい分けたものである。

## 5. 連続粒度の砂を用いたモルタル

以上述べたものは单一粒度および特異な不連続粒度に対するものであったが、ここでは福岡市周辺で市販されている普通の砂について同様な考察を試みた。なお、この一連の実験には麻生セメント（比重 3.15）を用いた。また、砂は海の中道（A 種）、海の中道と室見川（2.5 mm 以下）の 1:1 混合（B 種）、海の中道と室見川（5 mm 以下）1:1 混合（C 種）の 3 種とした。それぞれの粒度曲線は 図-14 のようで、固有実積率は A, B, C そ

図-14 使用した連続粒度骨材

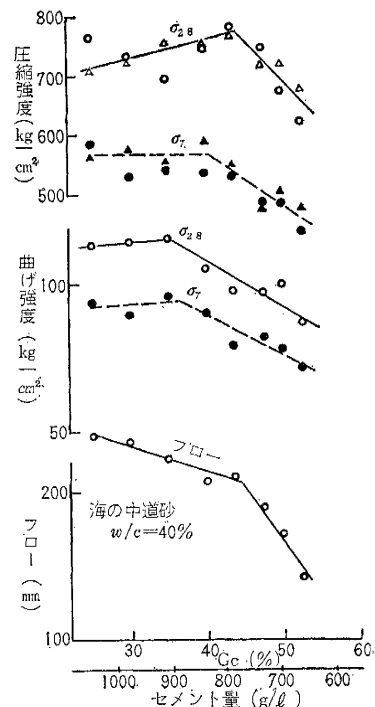


れぞれ 0.60, 0.63, 0.65 であった。

a) 配合実積率  $G_c$  とモルタルの一般的性質 A 種に對し、1種骨材の場合と同様に  $G_c$  を変化させ、 $w/c=40\%, 50\%$  および  $60\%$  で一定にし、モルタルの性質を試験した結果、それぞれ 図-15, 16 および 17 のようになされた。すなわち、 $G_c$  の減少にともない圧縮、曲げの強度はある点まで増大するが、それ以上は減少あるいは大した伸びを示さず、限界実積率と考えられる点が存在する。ただし、曲げは圧縮のように明確な山は作らない。また、フローも  $G_c$  の減少とともに増加するが、増加割合の異なる点が存在する。これらの観点から、簡単に直線的関係で示されるものとし図に示しているが、限界実積率  $G_{cr}$  は若干の差異はあるが大体において一致している。図中、圧縮強度の○印は  $\phi 5 \text{ cm} \times 10 \text{ cm}$  の円柱形供試体、△印はセメント試験用の標準供試体の強度を示している。

b) フローに与える影響 フローについて先に  $G_i/G_c$

図-15 海の中道砂、 $w/c=40\%$  時の  $G_c$  とモルタルの諸性質



が大きな意味をもつことを述べたが、図-15～17 の関係から見てむしろ  $G_c/G_i$  でまとめるほうがよいと考え

図-16 海の中道砂、 $w/c=50\%$  時の  $G_c$  とモルタルの諸性質

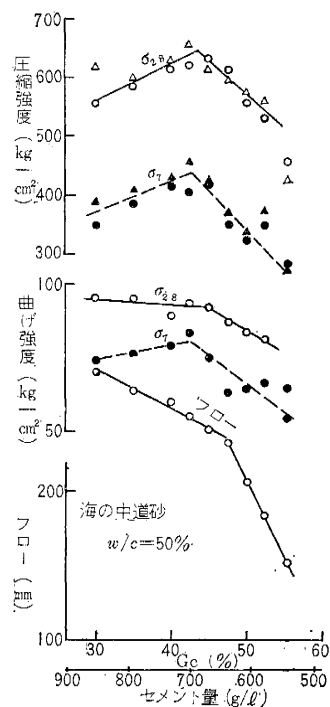
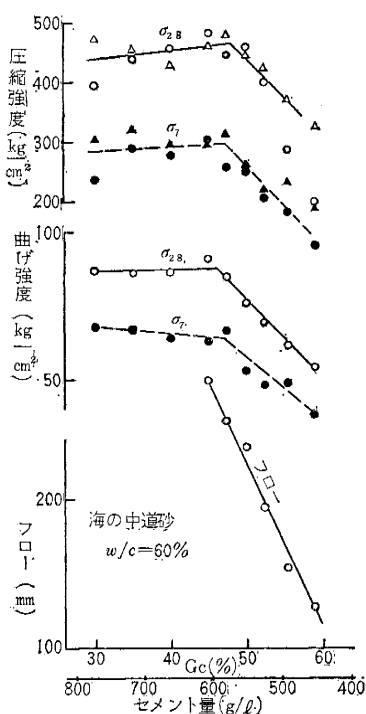


図-17 海の中道砂、 $w/c=60\%$  時の  $G_c$  とモルタルの諸性質



られる。よって、図-18 には A, B, C 3 種について  $G_c/G_i$  とフローの関係を  $w/c$  別にプロットしている。これにもほぼ定性的な関係が見られ、図のような折線で描くことができる。また、折点すなわち限界実積率  $G_{cr}$  に対応する  $G_{cr}/G_i$  を見ると、 $w/c=40, 50$  および  $60\%$  のそれに対し  $G_{cr}/G_i$  は  $0.76, 0.78$  および  $0.81$  と得られる。海の中道と室見川では石質も異なり、形状も大きな要素となることも考えられ、この点、なほ研究を必要とするが、結論として、モルタル中の骨材がフローに与える影響は、連続不連続を問わず、骨材の表面積よりむしろ、その骨材の固有実積率が大なる影響力をもつと考えられる。

c) 強度に与える影響 A, C 2 種について  $G_c$  と  $\phi 5 \text{ cm} \times 10 \text{ cm}$  供試体とセメント試験用供試体の 28 日強度の平均値との関係を図-19 に示している。限界実積率  $G_{cr}$  と考えられる点は A, C 種で異なるが、強度は  $G_c$  が  $G_{cr}$  より大なる範囲では両者は大差なく、むしろ C 種が大なるものもある。しかし  $G_c$  が  $G_{cr}$  より小になると A 種のほうが大なる強度をもっている。A 種は C 種に比し、いわゆる細砂と呼ばれるもので、この傾向は 1 種骨

図-18 連続粒度における  $G_c/G_i$  とフローの関係

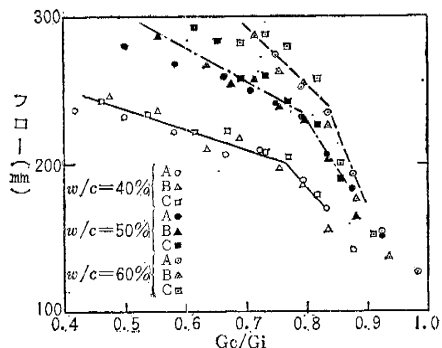
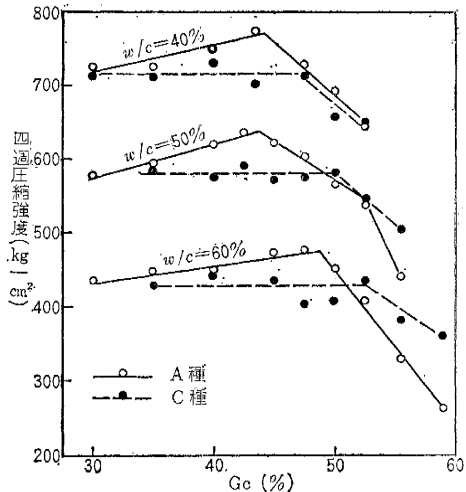


図-19 連続粒度骨材の  $G_c$  と 28 日圧縮強度の関係



材にも見られたものである。強度面から考えられる  $G_{cr}$  は、前述のフローで得られた数値より若干小で、平均すると  $w/c = 40, 50$  および 60 % に対し、 $G_{cr}/G_c$  は 0.70, 0.75, 0.78 程度になるが、実験的誤差を考えるとほぼ同じといつてもよい。

## 6. あとがき

以上の実験の結果、つぎの結論がえられる。すなわち、モルタル用細骨材として最も重要なことは、その固有実積率  $G_i$  であり、ペーストの  $w/c$  に応じ最適な砂量（限界実積率  $G_{cr}$ ）が存在する。 $G_{cr}$  と  $G_i$  の比、 $G_{cr}/G_i$  は  $w/c$  によって定まり、 $w/c$  が大であると  $G_{cr}/G_i$  も大となる。また、 $w/c$  一定なら同じフローを得るのに  $G_i$  の大なるほうがセメント量は少なくてすむ。強度面から考えると適当に細砂が混じているものが強く、フローのみから粗い砂を用いるのは適当でないといえる。

また限界実積率に相当するモルタルと良い粒度の粗骨材を混合することにより最良のコンクリートが得られるものと考える。これに関してはつぎの機会に述べる予定である。

本研究は、水野高明教授のご指導によるもので、実験に際しては土木実験室の職員諸氏および学生諸君の大きな協力をいただいたことを記して感謝の意を表する。なお、この研究は文部省科学研究費による一部である。

## 参考文献

- 1) 柳場重正・高桑重三：鋼球を骨材とみなした場合のセメントペーストの挙動、セメントコンクリート、3月、1961.
- 2) Kennedy, C.T.: Design of Concrete Mixes, Jour. of A.C.I., Feb. 1940.
- 3) 水野高明・徳光善治：粒体のつめこみに関する研究（第1報），九大工学集報30巻3号（第2報）、31巻2号。

（原稿受付：1962. 10. 4）